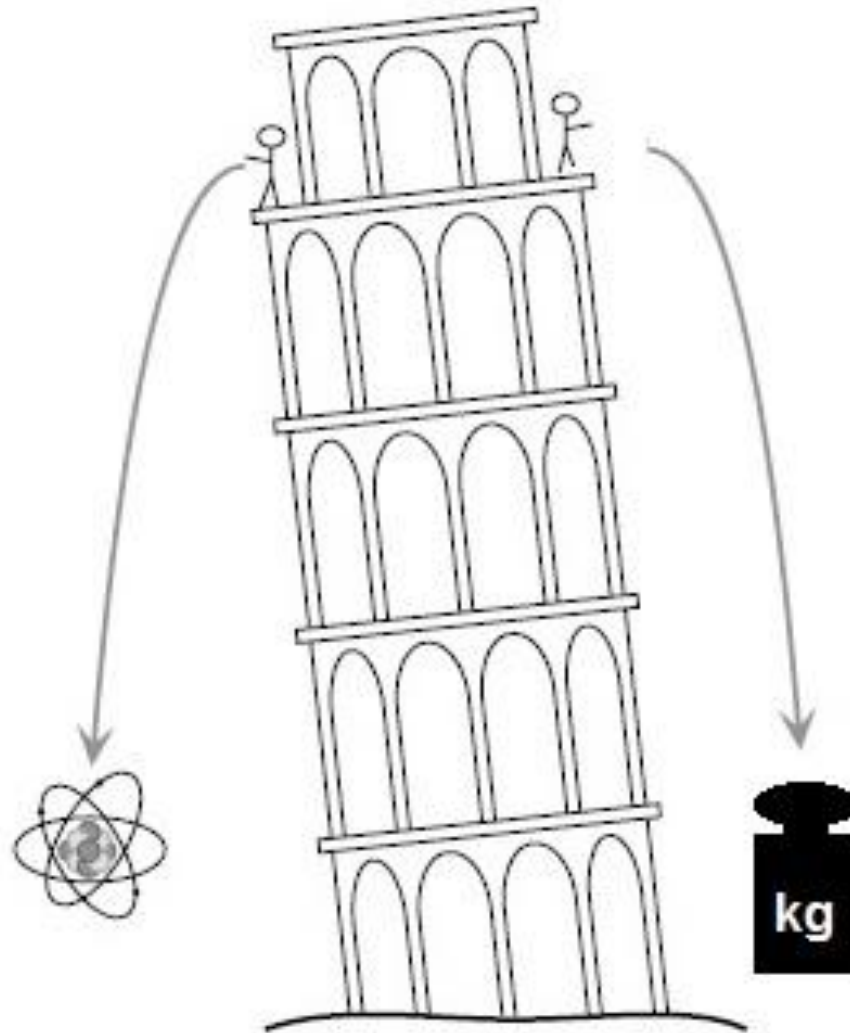


Atominterferometrie

Kai Lampmann

Berlin, den 23. Mai 2011

Motivation

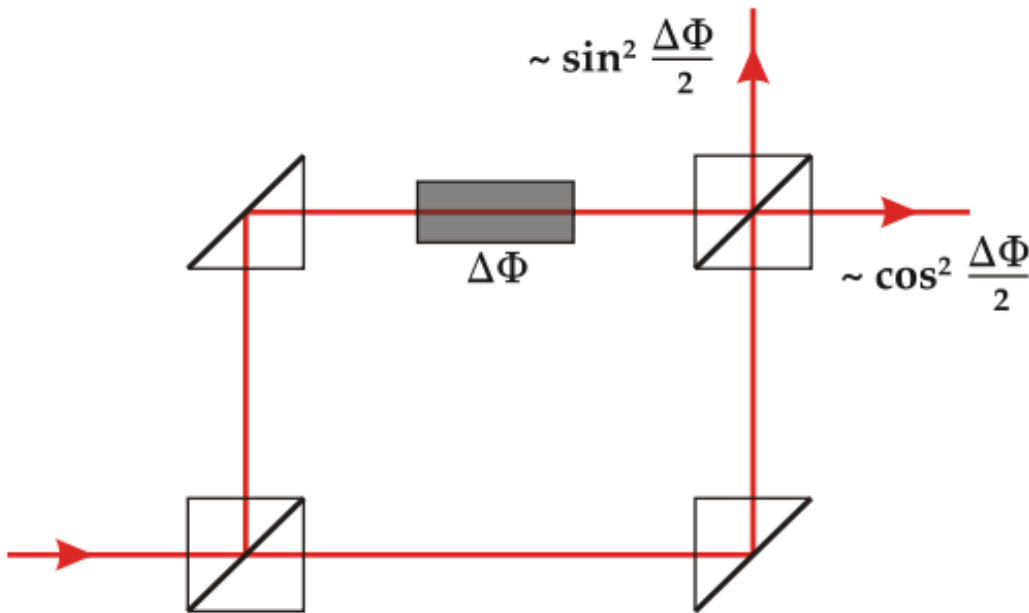


Gliederung

1. Einleitung
2. Atominterferometer
3. Test des Äquivalenzprinzips
4. Fazit

Lichtinterferometrie

Mach-Zehnder Interferometer



Komponenten eines Interferometers:

- Strahlteiler
- Reflexion
- Strahlüberlagerung

→ Phasenverschiebung zwischen den Armen des Interferometers

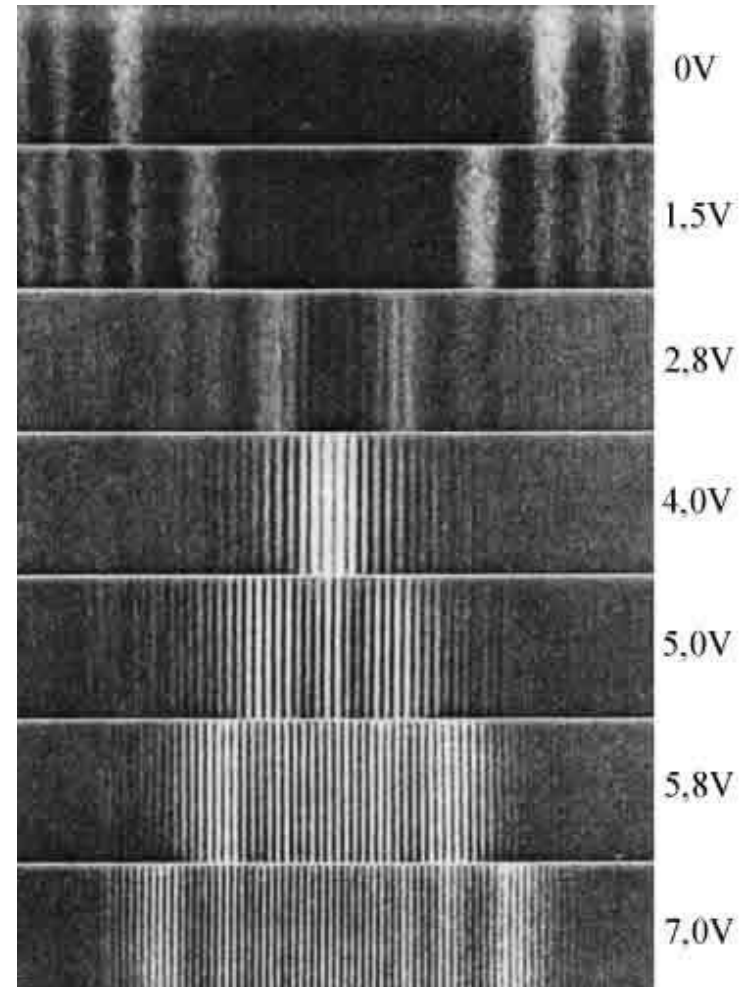
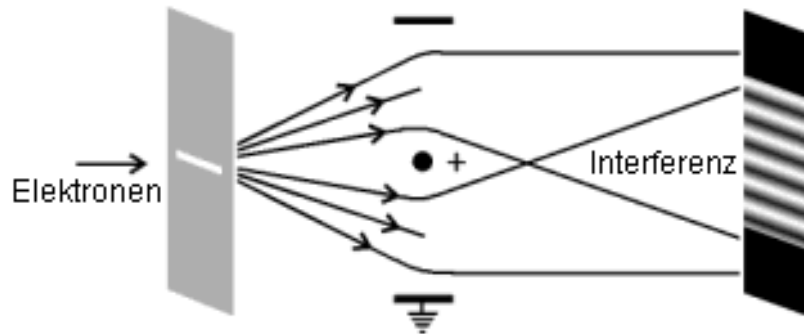
→ Messung durch Interferenz

Elektronen-Interferenz

Luis de Broglie 1923: $\lambda = \frac{h}{p} = \frac{h}{mv}$

Elektronen-Interferenz

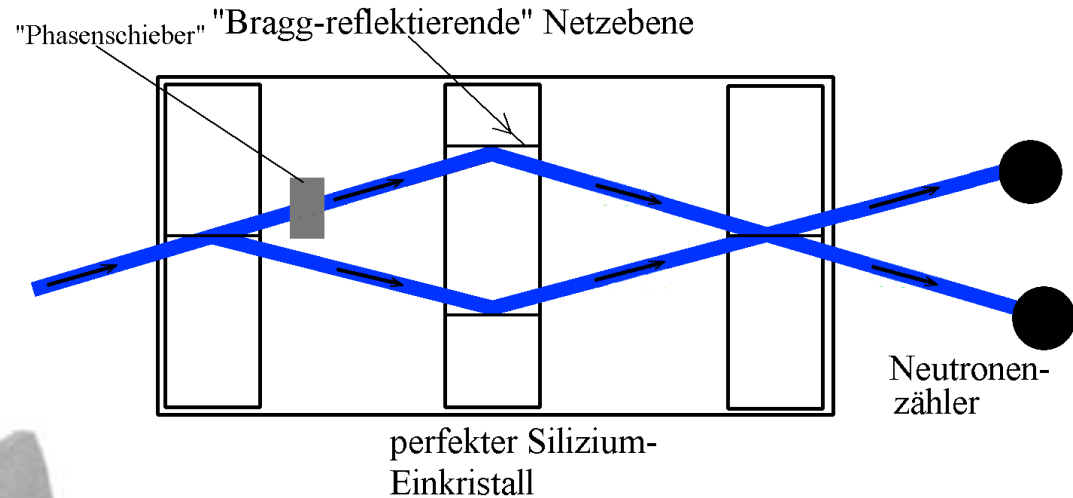
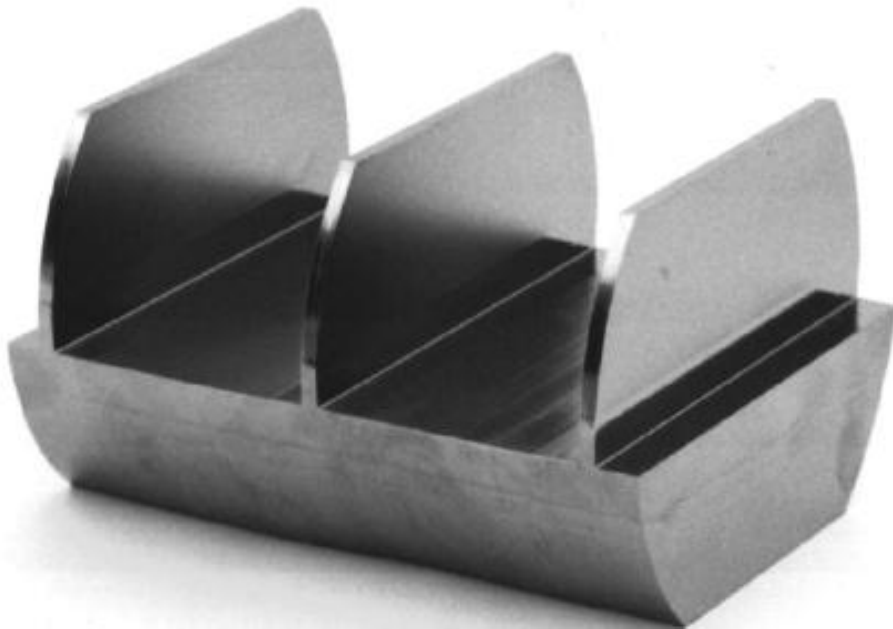
Möllenstedt und Dürker, 1954:



Neutronen-Interferometrie

Rauch, 1974

Silizium-Perfektkristall-
Neutronen-Interferometer



Mach-Zehnder-Interferometer

Strahlteilung und Reflexion
durch Ausnutzung der Bragg-
Reflexion an den Netzebenen
im Kristall

Materie-Interferometrie

Schwierigkeiten bei Interferometern mit Materiewellen:

- Andere Propagationseigenschaften von Materiewellen verglichen mit Lichtwellen
 - Andere Verfahren zur Manipulationen nötig
- Sehr genaue Kontrolle der experimentellen Bedingungen nötig

Vorteile von Materieinterferometern:

- Neue Messgrößen zugänglich / genauer messbar
 - Messung von Beschleunigungen
 - Messung von Rotationen
 - Messung von allg. relativistischen Effekten

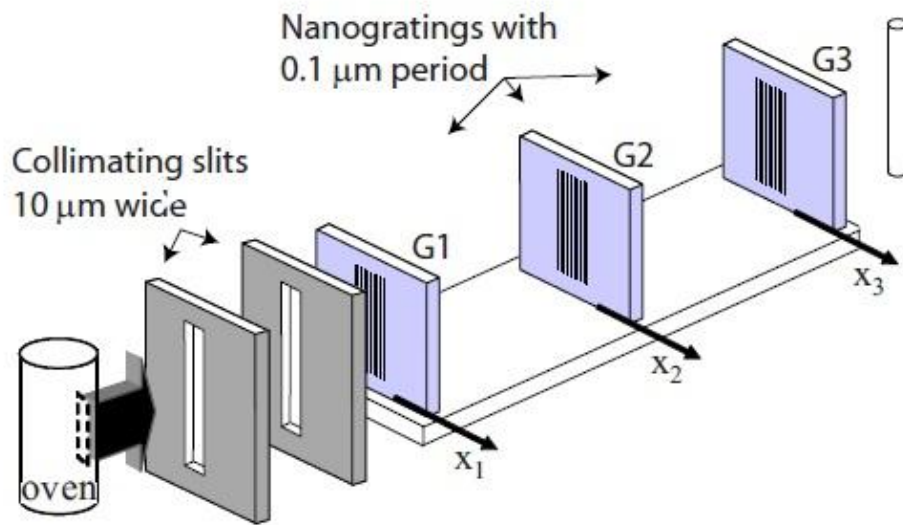
Gliederung

1. Einleitung
- 2. Atominterferometer**
3. Test des Äquivalenzprinzips
4. Fazit

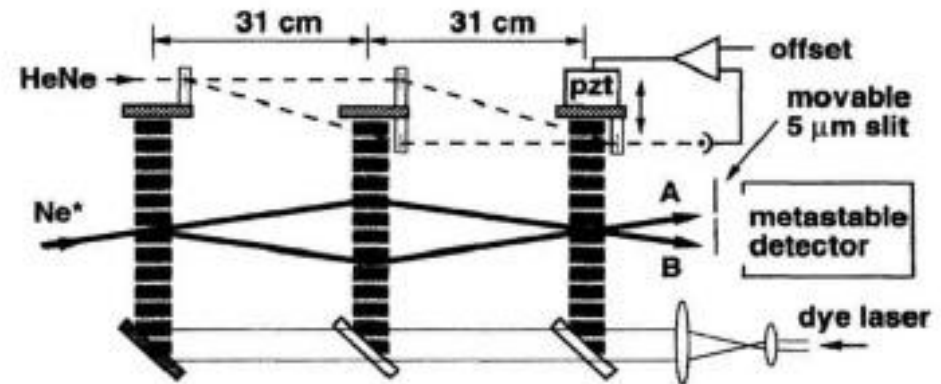
Atominterferometer

Atominterferometer mit Gittern

- Transmissionsgitter mit Perioden ≈ 100 nm
- Herstellung mittels Nanolithographie



Atominterferometer mit Lichtwellen

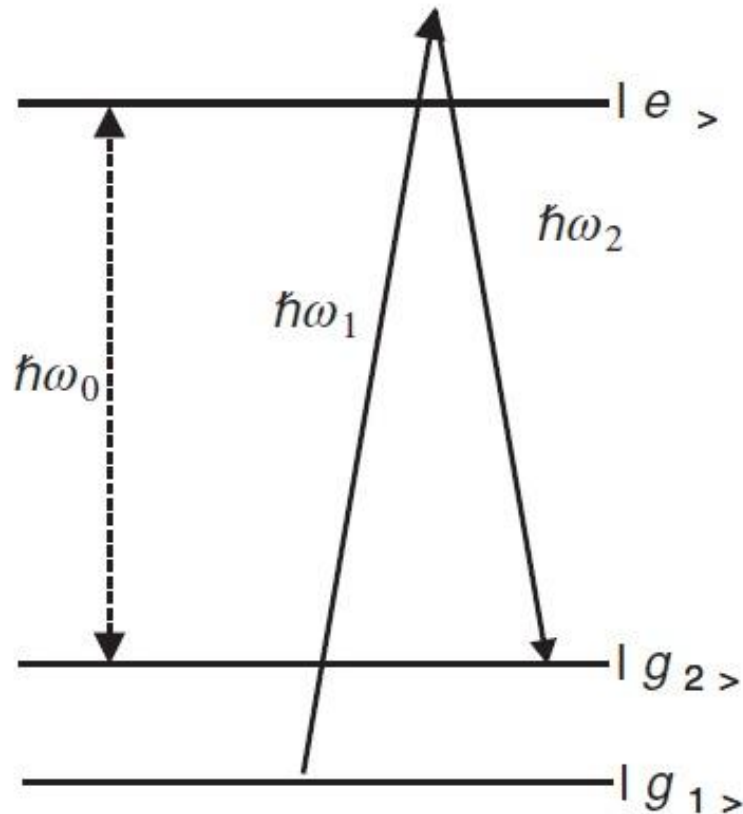


- Realisierung des Gitters durch stehende Lichtwellen
- Brechung der Materiewellen nach der Bragg-Beziehung:

$$n \times \lambda = 2 \times d \times \sin(\theta)$$

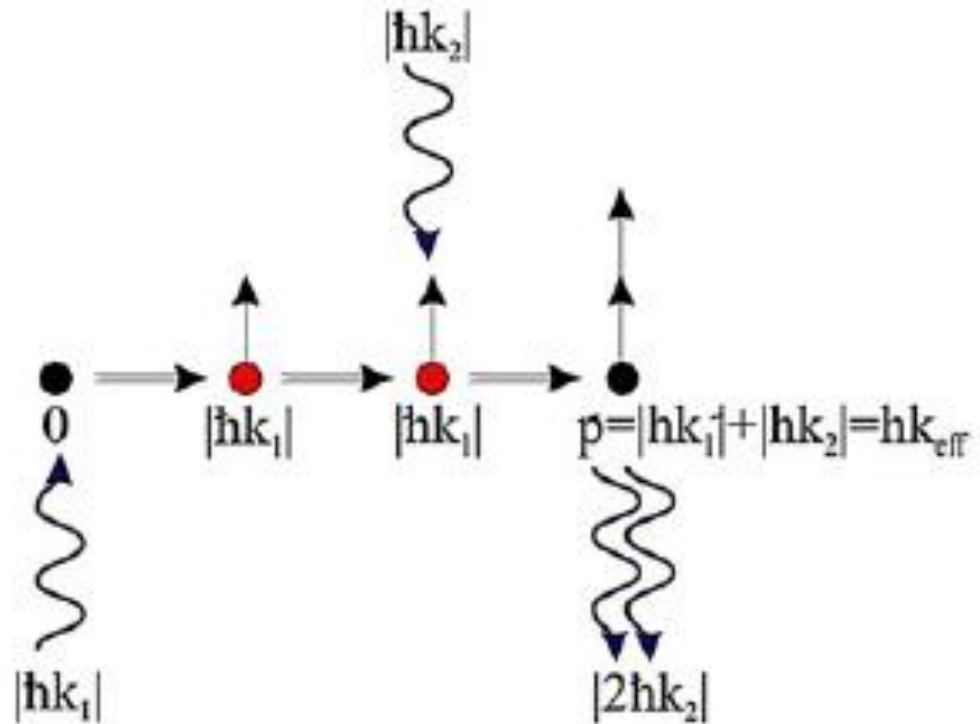
Atominterferometer mit Lichtpulse

Stimulierte Raman-Übergänge



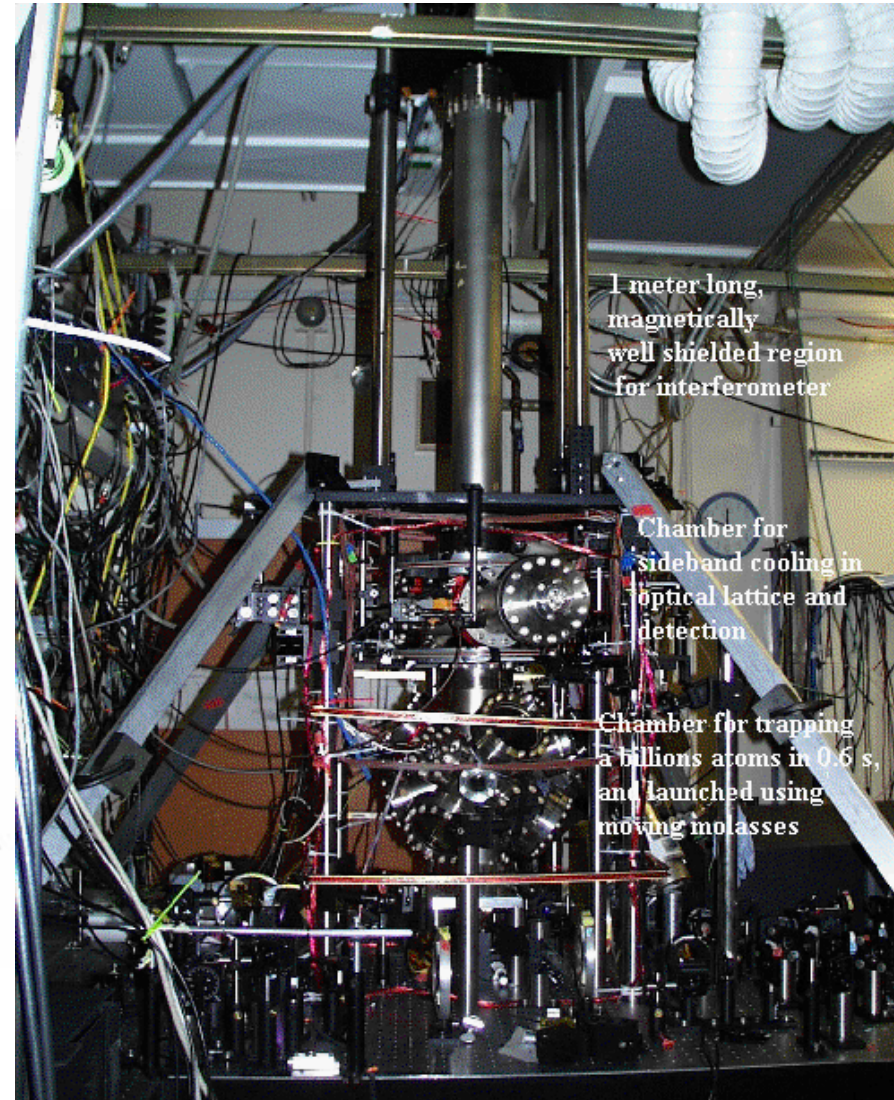
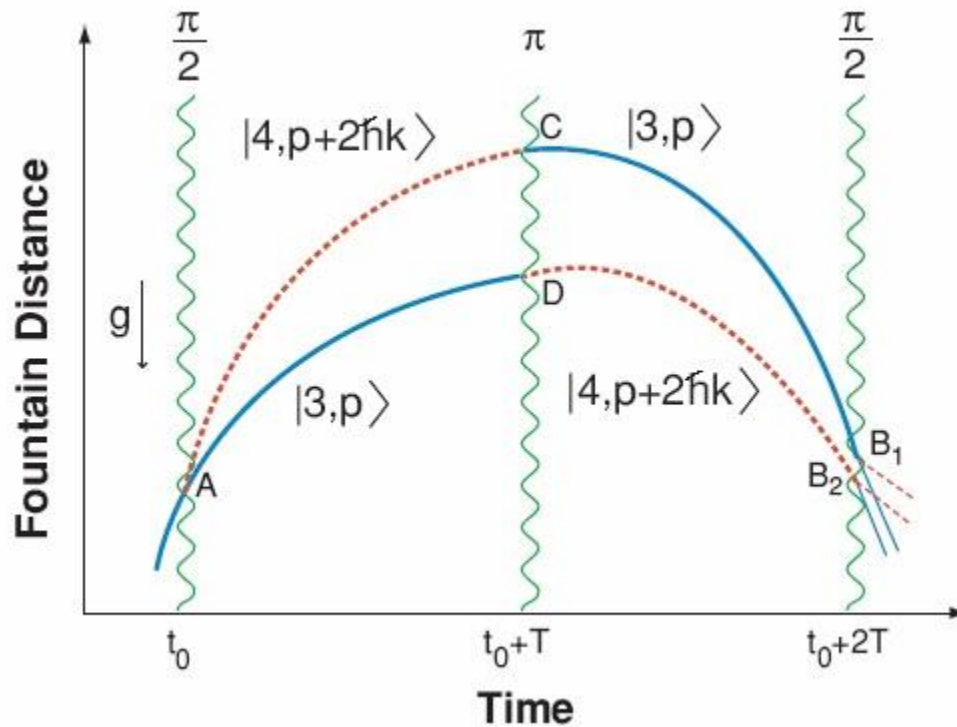
Es gilt: $k_{1,2} = \frac{\omega_{1,2}}{c}$

und $|k_{\text{eff}}| = |k_1| + |k_2|$

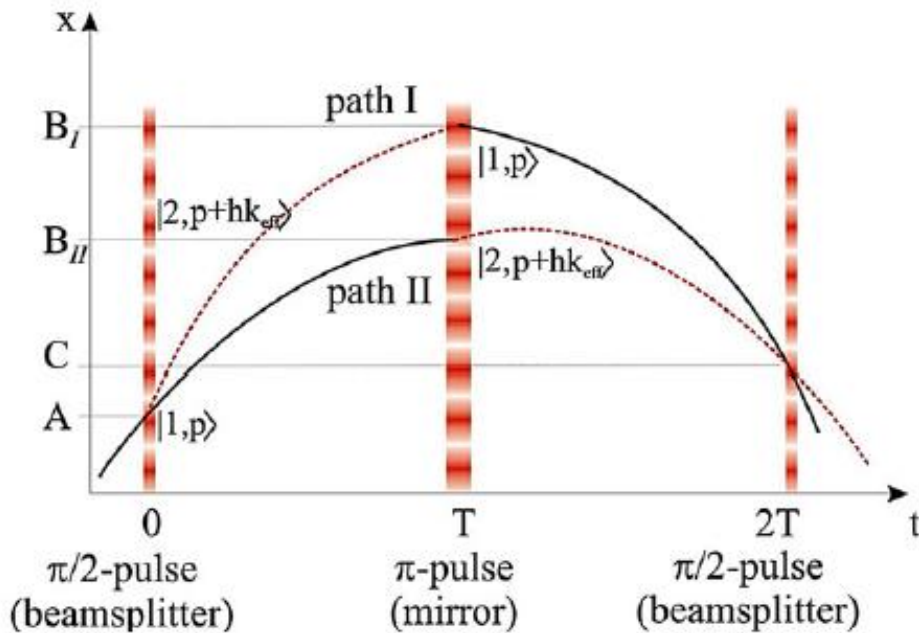


Atomfontäne

Realisierung des Interferometers:



Einfluss der Gravitation auf den Phasenunterschied



Berechnung der Phasendifferenz

$$\Phi(x^A, 0) = 0$$

$$\Phi(x_{II}^B, T) = k_{eff} \left[-\frac{1}{2}gT^2 + v_0T \right]$$

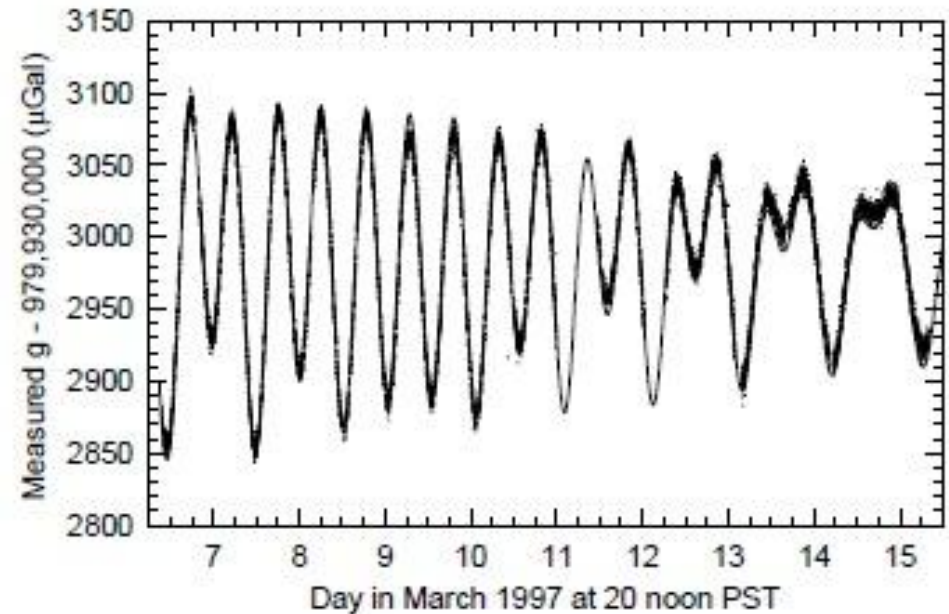
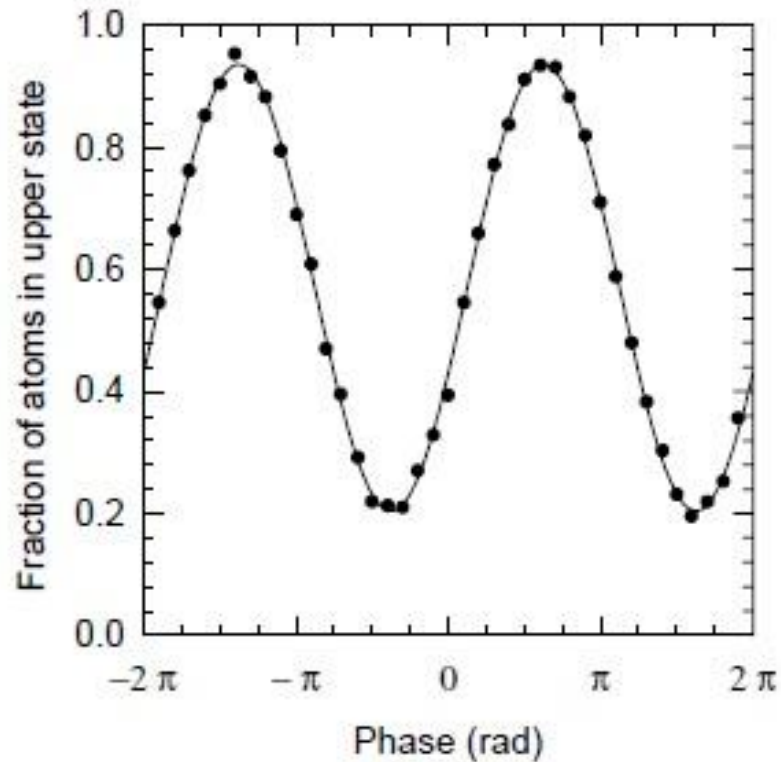
$$\Phi(x_I^B, T) = k_{eff} \left[-\frac{1}{2}gT^2 + \left(v_0 + \frac{\hbar k_{eff}}{m} \right) T \right]$$

$$\Phi(x^C, 2T) = k_{eff} \left[-2gT^2 + \left(2v_0 + \frac{\hbar k_{eff}}{m} \right) T \right]$$

Phasenunterschied:

$$\Delta\Phi_g = -k_{eff}gT^2$$

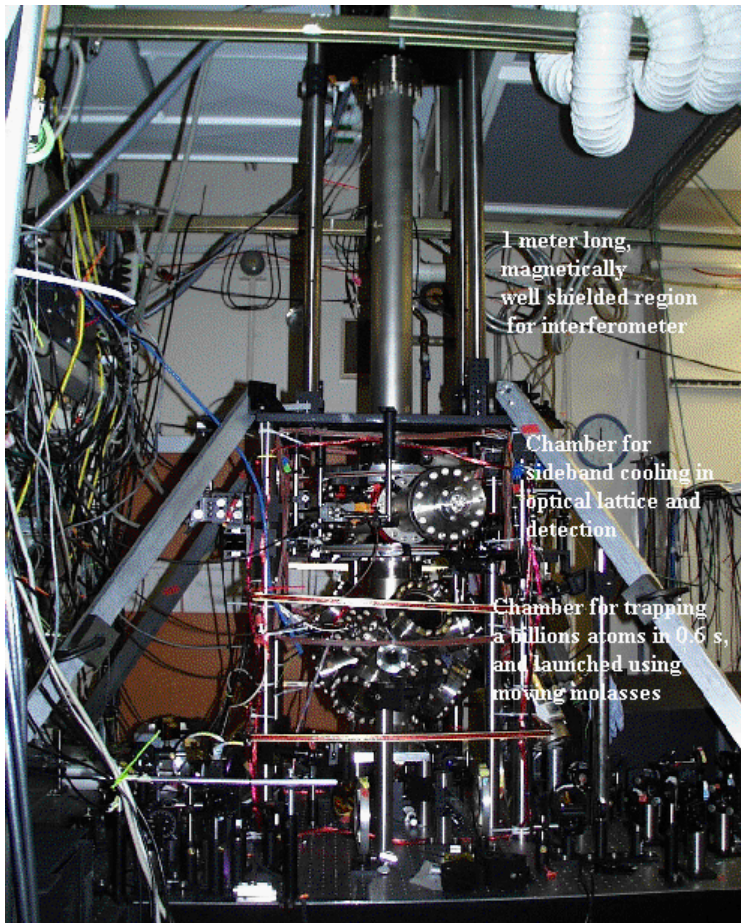
Messergebnis



$$g = 979\,933\,160 \pm 4 \text{ Gal}$$

$$\text{mit } 1 \text{ Gal} = 0,01 \text{ m/s}^2$$

Vergleich mit Standard



VS.

Gravimeter FG5



Beschleunigung zusammen messen:

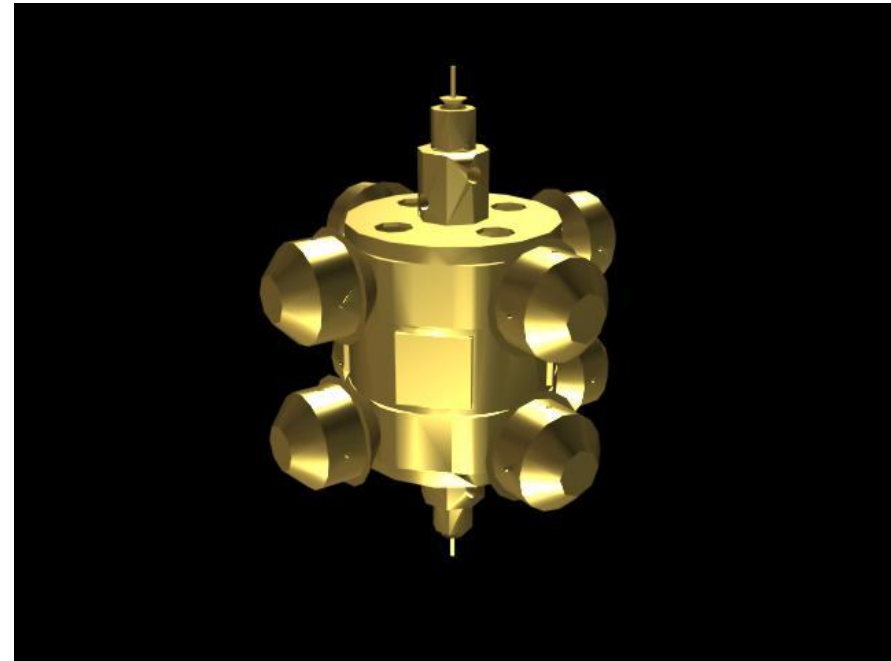
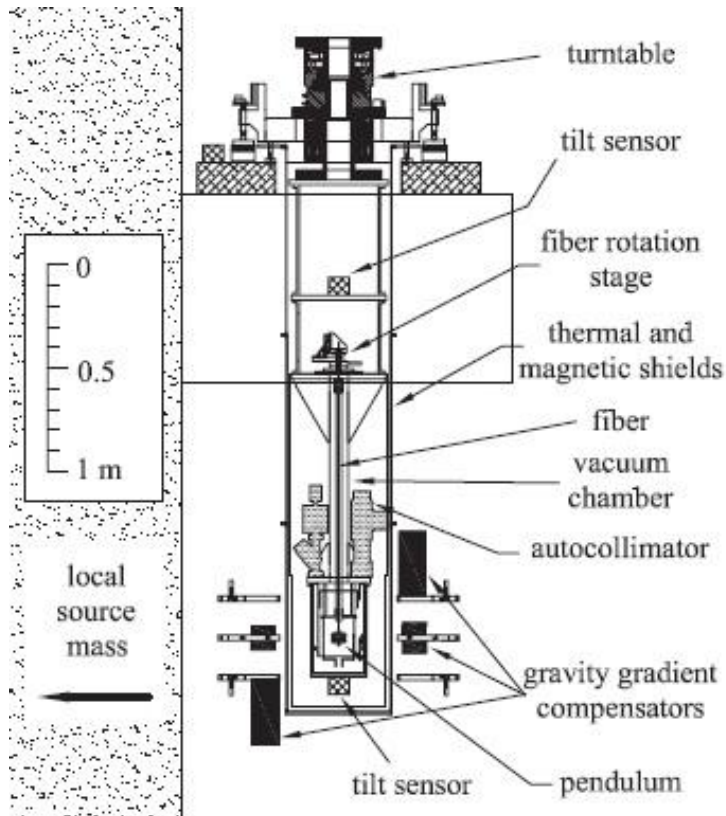
$$\delta g \approx 7 \times 10^{-9}$$

Gliederung

1. Einleitung
2. Atominterferometer
- 3. Test des Äquivalenzprinzips**
4. Fazit

Äquivalenzprinzip

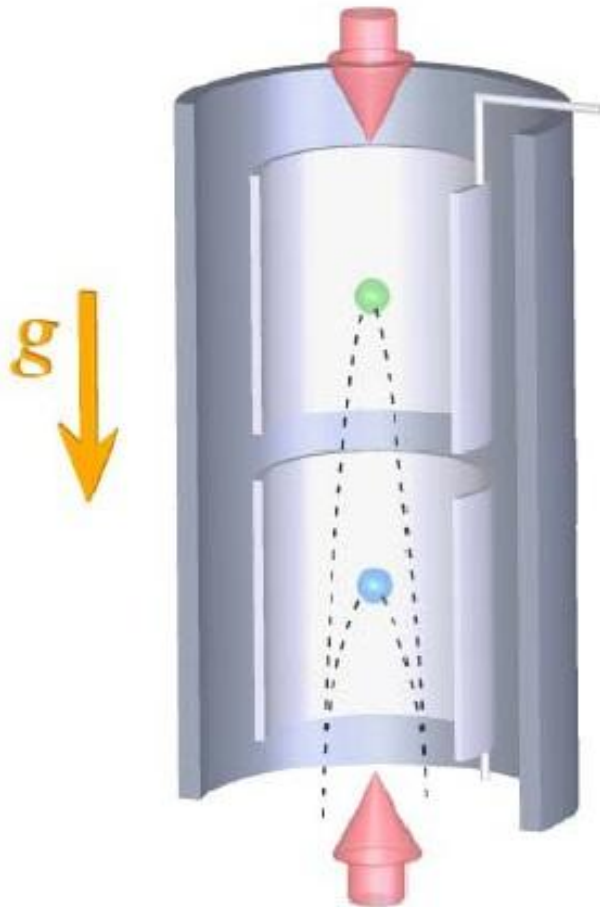
= Universalität des freien Falls



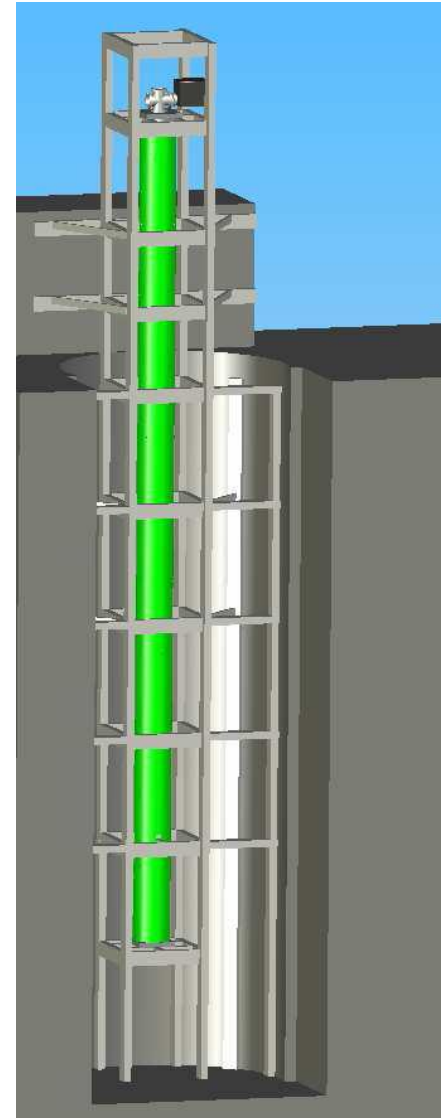
Sensitivität: $\delta g \approx 10^{-13}$

Äquivalenzprinzip auf Quantenebene

Direkter Vergleich der Beschleunigung eines ^{85}Rb und eines ^{87}Rb Ensembles



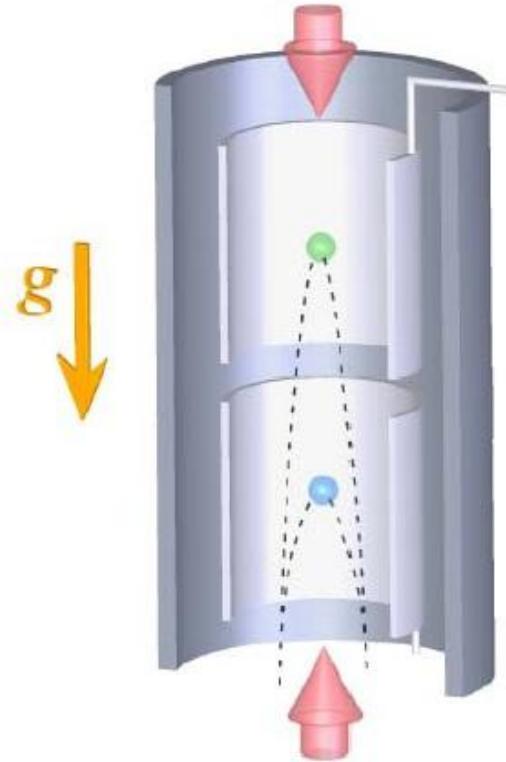
10-Meter-Fontäne in Stanford



Verbesserung der Sensitivität

$$\Delta\Phi_g = -k_{eff}gT^2$$

10m Fontäne → Faktor 100



Common-Mode-Rejection → ca. Faktor 100

Statistische Sensitivität:

$\delta g \approx 10^{-15}$ mit einem Monat Integrationszeit

Systematische Einflüsse

$-k_{\text{eff}} g T^2$

-2.84724×10^8

1.

Systematische Einflüsse

$-k_{\text{eff}} g T^2$	-2.84724×10^6	1.
$k_{\text{eff}} R_E \Omega_Y^2 T^2$	6.21045×10^5	2.18122×10^{-3}
$k_{\text{eff}} T_{\text{ss}} V_L T^3$	1.57836×10^3	5.54347×10^{-6}
$-\frac{7}{12} k_{\text{eff}} T_{\text{ss}} g T^4$	-9.20709×10^2	3.23369×10^{-6}
$2 k_{\text{eff}} v_{x0} \Omega_Y T^2$	1.97884×10^1	6.95002×10^{-6}
$-3 k_{\text{eff}} V_L \Omega_Y^2 T^3$	-5.16411	1.81373×10^{-6}
$\frac{7}{4} k_{\text{eff}} \Omega_Y^2 g T^4$	3.0124	1.05801×10^{-6}
$\frac{7}{12} k_{\text{eff}} R_E T_{\text{ss}} \Omega_Y^2 T^4$	2.00827	7.05338×10^{-9}
$\frac{k_{\text{eff}}^2 T_{\text{ss}} h T^3}{2m}$	7.05401×10^{-1}	2.47749×10^{-9}
$k_{\text{eff}} T_{\text{ss}} v_{z0} T^3$	7.05401×10^{-1}	2.47749×10^{-9}
$k_{\text{eff}} T_{\text{ss}} T^2 z_0$	8.92817×10^{-2}	3.13573×10^{-10}
$-\frac{7}{4} k_{\text{eff}} R_E \Omega_Y^4 T^4$	-6.57069×10^{-3}	2.30774×10^{-11}
$-\frac{7}{4} k_{\text{eff}} R_E \Omega_Y^2 \Omega_E^2 T^4$	-3.84744×10^{-3}	1.35129×10^{-11}
$-\frac{3 k_{\text{eff}}^2 \Omega_Y^2 h T^3}{2m}$	-2.30795×10^{-3}	8.10592×10^{-12}
$-3 k_{\text{eff}} v_{z0} \Omega_Y^2 T^3$	-2.30795×10^{-3}	8.10592×10^{-12}
$\frac{1}{4} k_{\text{eff}} T_{\text{ss}}^2 V_L T^5$	2.18739×10^{-3}	7.68251×10^{-12}
$3 k_{\text{eff}} v_{y0} \Omega_Y \Omega_E T^3$	1.76607×10^{-3}	6.20273×10^{-12}
$-\frac{31}{360} k_{\text{eff}} T_{\text{ss}}^2 g T^6$	-7.53436×10^{-4}	2.6462×10^{-12}
$4 B_0 V_L T^2 \alpha b_{z1}$	5.14655×10^{-4}	1.80756×10^{-12}
$-4 B_0 g T^3 \alpha b_{z1}$	-5.14655×10^{-4}	1.80756×10^{-12}
$k_{\text{eff}} \Omega_Y^2 T^2 z_0$	9.73714×10^{-5}	3.41985×10^{-13}
$-k_{\text{eff}} \Omega_Y \Omega_E T^2 y_0$	-7.45096×10^{-5}	2.61691×10^{-13}
$\frac{7}{6} k_{\text{eff}} T_{\text{ss}} v_{x0} \Omega_Y T^4$	6.39894×10^{-5}	2.24742×10^{-13}
$-7 V_L g T^4 \alpha b_{z1}^2$	-4.7766×10^{-5}	1.67762×10^{-13}
$\frac{7}{6} k_{\text{eff}} T_{\text{ss}} v_{z0} \Omega_Y T^4$	-3.19947×10^{-5}	1.12371×10^{-13}
$4 V_L^2 T^3 \alpha b_{z1}^2$	2.72948×10^{-5}	9.58642×10^{-14}
$3 g^2 T^5 \alpha b_{z1}^2$	2.04711×10^{-5}	7.18982×10^{-14}

Systematische Sensitivität:
 $\delta g \approx 10^{-16}$

Atominterferometrie in China

„High-Precision Atom Interferometer for the Test of the Equivalence Principle“:

Prof. Wang Jin, Wuhan University

12,6 m Höhe des Systems

10 m Atom-Fontäne



Gliederung

1. Einleitung
2. Atominterferometer
3. Test des Äquivalenzprinzips
- 4. Fazit**

Zusammenfassung

- Interferometrie ermöglicht extrem empfindliche Messungen
- Atominterferometrie macht neue Messungen möglich
 - neue Messgrößen zugänglich
 - Sensitivität auf extrem schwache Effekte
- Atominterferometer bieten bessere Genauigkeit als makroskopische Experimente

Ausblick

→ Äquivalenzprinzip

- Atominterferometermessungen werden die bisherige Genauigkeit weiter verbessern
- Satellitengestützte Experimente (z.B. STEP, μ SCOPE) sollen Genauigkeit weiter verbessern

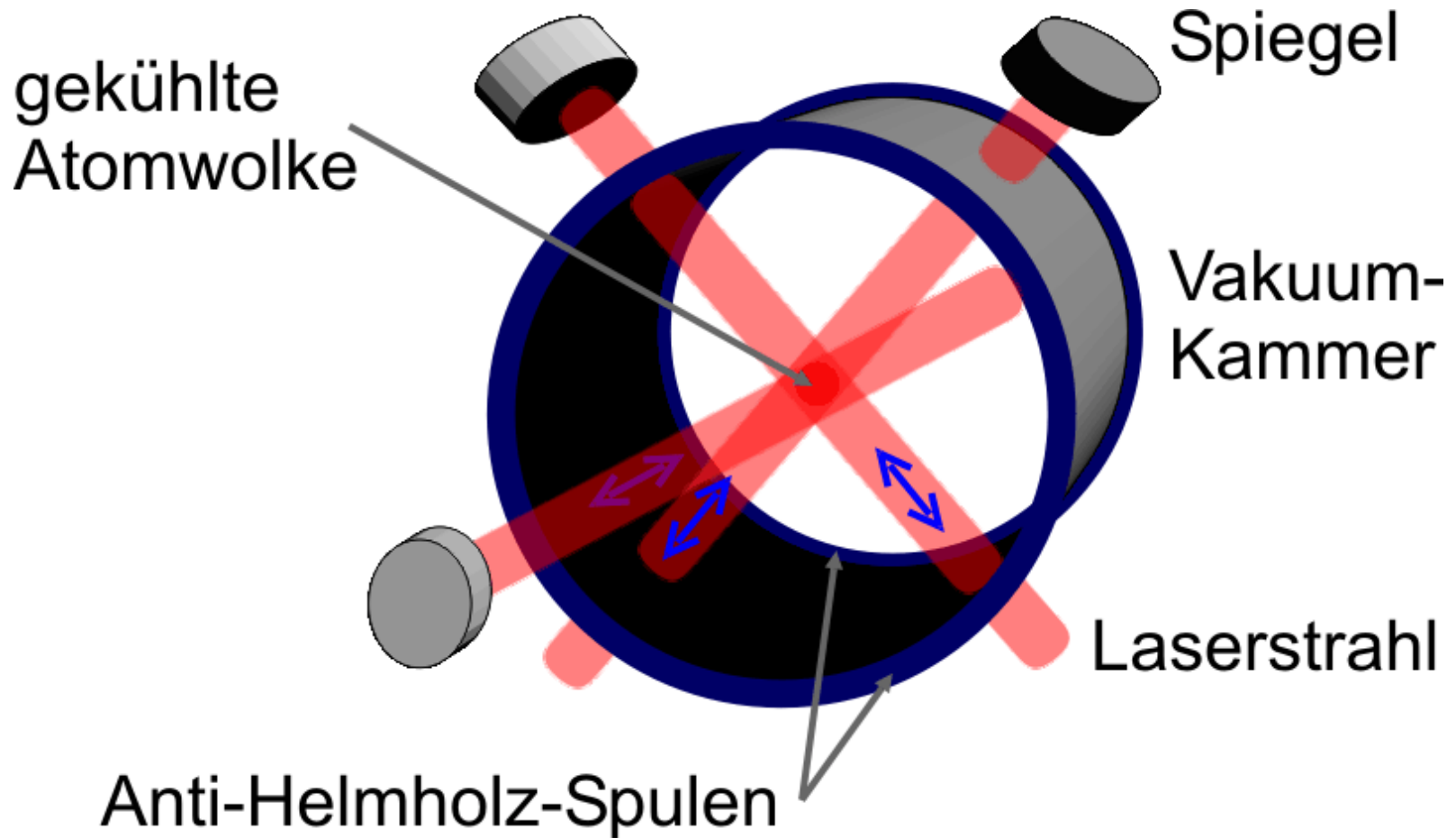
→ Atominterferometrie

- Interferometer mit BECs
- Interferometer unter Schwerelosigkeit
- Interferenz makroskopischer Objekte

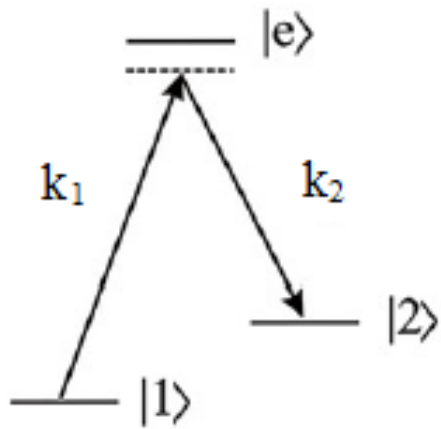
Vielen Dank für Ihre Aufmerksamkeit

Fragen?

Magneto-optische Falle



Rabi-Oszillation



$$p_1(t) = \cos^2\left(\frac{\Omega \cdot t}{2}\right)$$

$$p_2(t) = \sin^2\left(\frac{\Omega \cdot t}{2}\right)$$

